

И Н С Т И Т У Т  
ЯДЕРНОЙ ФИЗИКИ СОАН СССР

ПРЕПРИНТ И Я Ф 74 - 27

Т.А.Всеволожская, М.А.Любимова, Г.И.Сильвестров

ОПТИЧЕСКИЕ СВОЙСТВА ЦИЛИНДРИЧЕСКИХ  
ЛИНЗ

Новосибирск

1974

ОПТИЧЕСКИЕ СВОЙСТВА ЦИЛИНДРИЧЕСКИХ  
ЛИНЗ

Т.А.Всеволожская, М.А.Любимова, Г.И.Сильвестров

АННОТАЦИЯ

В работе рассмотрены оптические свойства линз, осуществляющих фокусировку частиц высокой энергии линейно растущим магнитным полем внутри цилиндрического проводника с близкой к однородной плотностью тока: aberrации, вызванные неоднородностью плотности тока при импульсном питании, краевые эффекты и сферическая aberrация. Применение лития в качестве проводящего материала линз при реально достижимых градиентах поля, больших 200 кэ/см, сводит к минимуму эффекты взаимодействия частиц с материалом линзы.

## Использование линейно растущего магнитного поля внутри

проводника с однородной плотностью тока для фокусировки частиц высоких энергий ограничено потерями из-за взаимодействия частиц с веществом и может быть осуществлено при условии малой плотности материала проводника. В работах /1,2/ описываются линзы, в которых роль проводящего цилиндра выполняет столб газового разряда с током от 4 кА /1/ до 500 кА /2/. Использование лития ( $Li$ ) в качестве проводящего материала для цилиндрических линз было предложено Г.И.Будкером в 1960 году в применении к фокусировке позитронов с энергией  $\sim 100$  Мэв. Эксперименты по пропусканию больших токов через литий, проведенные в последнее время в ИЯФ СО АН /3/, показали, что при определенных конструктивных решениях могут быть получены магнитные поля на поверхности литиевого цилиндра в 200-250 кэрст, что позволяет создать сильнофокусирующие линзы для частиц высокой энергии ( $p \gtrsim 0.5$  Гэв/с) при длинах линз, значительно меньших ядерной длины, так что потери частиц и приращение фазового объема пучков, обусловленные взаимодействием с веществом линзы оказываются достаточно малыми. Это открывает широкие возможности для применения цилиндрических линз в оптике пучков высоких энергий.

В настоящее время в ИЯФ разрабатывается несколько вариантов цилиндрических литиевых линз для следующих задач:

1. Линза для фокусировки электронов с энергией 500 Мэв в блоке электрон-позитронного конвертера.
2. Линза для собирания с протонной мишени пучка антипротонов и  $\pi^-$ -мезонов с энергией 2 Гэв и выше с углом собирания до 0.2 рад.
3. Линза для фокусировки в малый размер протонных пучков сверхвысоких энергий - 30 Гэв и более.

В таблице 1 приведены предполагаемые технические параметры этих линз, а также параметры, характеризующие взаимодействие частиц с веществом линзы - потери за счет ядерного поглощения ( $\eta$ ), угловой разброс за счет многократного рассеяния ( $\theta^2$ ) и энергетический разброс, обусловленный энергетическим разбросом ионизационных потерь энергии ( $\xi$ ).

Таблица 1

Энергия Е Гэв	Диаметр d см	Длина l см	Макси- мальное поле, кэрст	Ток ка	$\eta\%$	$\sqrt{G^2} \text{ мкнг}$	$\epsilon\%$
0,5	0,8	2,5	100	200		3,5	0,15
2	3,8	10	180	1700	10	1,7	0,15
30	1,2	10	250	750	10	0,1	0,01

В реальных условиях искажения эмитанса пучков не ограничиваются многократным рассеянием частиц, но существенно зависят от aberrаций линзы:

аберрация за счет неоднородного распределения плотности тока по сечению линзы при импульсном питании;

аберрация за счет краевых эффектов; аберрация из-за отсутствия сферической аберрации при больших углах сходимости пучков.

Изучение названных aberrаций и является предметом настоящей работы.

### 1. Аберрации, вызванные неоднородной плотностью тока

Специфика цилиндрических линз, состоящая в том, что фокусируемые частицы движутся в металле на всей длине фокусировки, требует уменьшения их длины и соответствующего увеличения магнитного поля до максимальных значений, определяемых механической прочностью и нагревом линзы. Естественный путь уменьшения нагрева линзы состоит в уменьшении длительности импульса питания тока. Ограничением на этом пути является нелинейность распределения поля из-за неоднородности плотности тока, приводящая к aberrациям.

При питании синусоидальным импульсом тока с частотой  $\omega$  распределение поля по сечению стержня радиуса  $r_0$  описывается выражением

$$H(r,t) = H_0 \operatorname{Re} [i \frac{J_1(kr)}{J_1(kr_0)} e^{-i\omega t}] + \sum_{j=1}^{\infty} a_j e^{-\varphi_j} J_1(\mu_j r), \quad (1)$$

где  $k = \frac{\sqrt{2i}}{\delta}$ ,  $\delta = \frac{c}{\sqrt{4\pi\delta\omega}}$  — толщина скин-слоя,  $J_n$  — функция Бесселя  $n$ -го порядка,  $\mu_j r_0$  — корни уравнения  $J_0(x) = 0$ ,  $H_0$  — амплитуда поля на поверхности стержня,

$$a_j = -4H_0 \left( \frac{r_0}{\delta} \right)^2 \frac{\mu_j r_0}{(\mu_j r_0)^4 + 4 \left( \frac{r_0}{\delta} \right)^4} \cdot \frac{1}{J_0(\mu_j r_0)}, \quad \varphi_j = -\frac{c^2 \mu_j^2 t}{4\pi\delta}$$

Первый член в правой части (1) описывает периодическую составляющую поля, меняющуюся с частотой вынуждающего тока, второй — сумму релаксационных составляющих, обеспечивающих непрерывность электрического и магнитного полей при  $t = 0$ . Их постоянные времени зависят только от диаметра стержня и проводимости его материала.

Выражая время через фазу вынуждающего тока  $\omega t$ , показатель экспоненты  $j$ -й релаксационной составляющей получаем в виде  $\varphi_j = \frac{\delta^2}{2r_0^2} (\mu_j r_0)^2 \omega t$ . В интересующем нас случае толщина скин-слоя сравнима с радиусом стержня,  $\delta \sim r_0$ , значения же  $\mu_j r_0$  при  $j = 1, 2, 3, \dots$  есть 3,83, 7,02, 10,2, ... , так что в фазах, близких к максимуму тока  $\omega t \approx \pi/2$ , значения  $\varphi_j$  для всех  $j$  значительно превышают 1, и вкладом релаксационных составляющих можно пренебречь, считая процесс усташновившимся.

Для определения нелинейности распределения поля по радиусу стержня при заданном отношении  $\delta/r_0 \sim 1$  найдем средний по сечению стержня квадрат отклонения распределения поля от линейного с градиентом, оптимальным для заданной фазы вынуждающего тока

$$\overline{(\Delta H)^2} = \frac{1}{\pi r_0^2} \int_0^{r_0} [H(r,t) - r G(t)]^2 2\pi r dr$$

Оптимальное значение градиента  $\frac{G(t)}{(\Delta H)^2}$  в заданной фазе  $wt$  находится из условия минимума  $\frac{\partial}{\partial G} \frac{(\Delta H)^2}{(\Delta H)^2} = 0$ , и равно

$$G_{opt}(t) = \frac{4H_0}{r_0} \operatorname{Re}[ie^{-iwt} \frac{J_2(Kr_0)}{J_1(Kr_0)}] \quad (2)$$

Минимальное для заданной фазы  $wt$  значение среднего квадрата нелинейности поля есть

$$\overline{(\Delta H)^2}_{min,wt} = \frac{2H_0^2 r_0}{r_c^2} \int_0^{r_0} \left\{ \operatorname{Re} \left[ ie^{-iwt} \left[ \frac{J_1(Kr)}{J_1(Kr_0)} - 4 \frac{r}{r_0} \frac{J_2(Kr_0)}{J_1(Kr_0)} \right] \right] \right\}^2 r dr = \quad (3)$$

$$= \frac{H_0^2}{r_c^2} \left[ \int_0^{r_0} f f^* r dr - \operatorname{Re} \left( e^{-2iwt} \int_0^{r_0} f^2 r dr \right) \right],$$

где  $f = \frac{J_1(Kr)}{J_1(Kr_0)} - 4 \frac{r}{r_0} \cdot \frac{J_2(Kr_0)}{J_1(Kr_0)}$ ,  $f^*$  — комплексно сопряженное значение  $f$ .

При оптимальном значении фазы, определяемом как

$$wt_{opt} = \frac{1}{2} \arctg \frac{\operatorname{Im} \left( \int_0^{r_0} f^2 r dr \right)}{\operatorname{Re} \left( \int_0^{r_0} f^2 r dr \right)}, \quad \operatorname{Re} \left( e^{-2iwt_{opt}} \int_0^{r_0} f^2 r dr \right) > 0, \quad (4)$$

Средний квадрат нелинейности поля достигает своего минимального для заданного отношения  $\delta/r_0$  значения

$$\overline{(\Delta H)^2}_{min} = \frac{H_0^2}{r_0^2} \left\{ \int_0^{r_0} |f|^2 r dr - \left| \int_0^{r_0} f^2 r dr \right| \right\} \quad (5)$$

Значения интегралов в (3), (4) и (5) есть

$$\int_0^{r_0} |f|^2 r dr = - \left( \frac{\delta}{r_0} \right)^2 \left\{ 4 \left| \frac{J_2(Kr_0)}{J_1(Kr_0)} \right|^2 + \operatorname{Im} \left[ \frac{K r_0 J_0(Kr_0)}{J_1(Kr_0)} \right] \right\} \quad (6)$$

$$\int_0^{r_0} f^2 r dr = 1 - \frac{J_0(Kr_0) J_2(Kr_0)}{[J_1(Kr_0)]^2} - 8 \left[ \frac{J_2(Kr_0)}{K r_0 J_1(Kr_0)} \right]^2$$

Зависимость оптимальной фазы от отношения  $\delta/r_0$  (рис.1) в рассматриваемом диапазоне значений  $\delta/r_0$  хорошо описывается функцией  $(wt)_{opt} = \frac{\pi}{2} + \operatorname{const} \cdot \left( \frac{r_0}{\delta} \right)^2$ , так что время  $\Delta t$  от максимума тока до момента достижения оптимальной фазы оказывается независящим от  $\omega$  и равным  $\Delta t = \operatorname{const} \cdot \frac{2\pi c r_0^2}{c^2}$ . (7)

На рис.2 представлены графики зависимости от  $r$  отклонения поля от линейного с оптимальным градиентом

$\Delta H(r) = H(r, wt_{opt}) - r G_{opt}(wt_{opt})$  в оптимальных фазах при  $\delta/r_0 = 0,5$  и  $\delta/r_0 = \sqrt{0,5}$ . Пунктирными линиями показаны среднеквадратичные значения отклонений  $\pm \sqrt{(\Delta H)^2}$ , составляющие  $\pm 1,28 \cdot 10^{-2}$  и  $\pm 0,37 \cdot 10^{-2}$  от поля на поверхности.

Если частицы равномерно распределены по сечению линзы, величина  $\overline{(\Delta H)^2}$  определяет в приближении тонкой линзы средний квадрат аберрационного угла  $(\Delta \alpha_{ab})^2 = (\Delta H)^2 \cdot \left( \frac{pc}{l} \right)^2$  ( $l$  — эффективная длина линзы), и средний квадрат увеличения размера пучка в главном фокусе линзы  $(\Delta r_{ab})^2 = \alpha_{ab}^2 \cdot F_{\text{эфф}}^2$ . Здесь  $F_{\text{эфф}}$  — эффективное фокусное расстояние линзы, определяемое оптимальным значением градиента, а именно

$$F_{\text{эфф}} = \frac{pc}{300} \cdot \frac{1}{l^2 G_{opt}}, \quad p - \text{импульс частицы в электронвольтах (ЭВ)}, \quad G_{opt} - \text{в эрст/см.}$$

При двух рассмотренных значениях отношения  $\delta/r_0$ , равных 0,5 и  $\sqrt{0,5}$ , среднеквадратичные приращения координаты в фокусе линзы составляют  $14,5 \cdot 10^{-3} r_0$  и  $3,8 \cdot 10^{-3} r_0$ , причем внутри среднеквадратичного приращения координаты

$|\Delta r_{ab}| \leq \sqrt{(\Delta r_{ab})^2}$  оказывается 52% и 53% частиц, соответственно (часть сечения линзы с  $|\Delta H| \leq \sqrt{(\Delta H)^2}$ , рис.2).

7

Рис.2. Среднеквадратичное аберрационное приращение размера пучка в главном фокусе линзы в зависимости от  $\delta/r_0$  в оптимальной фазе (1) и в фазе  $\pi/2$  (2).

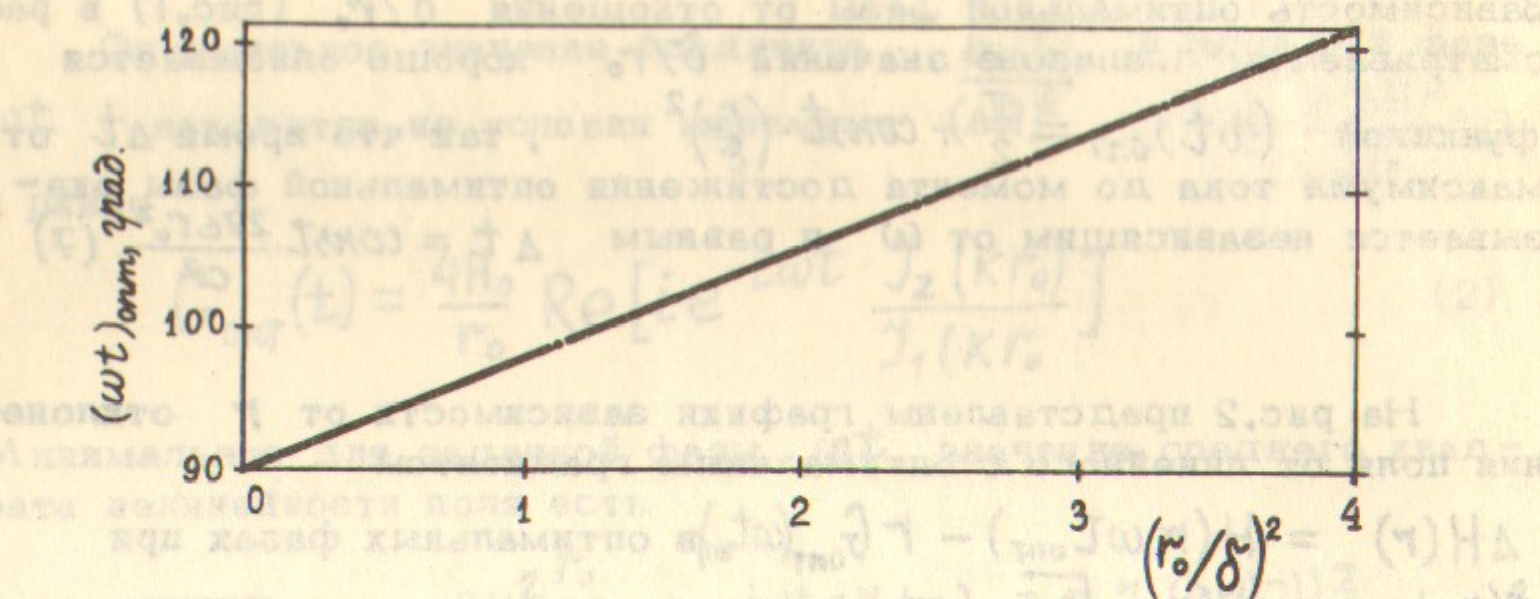


Рис.1. Зависимость оптимальной фазы вынуждающего тока от величины  $\delta/r_0$ .

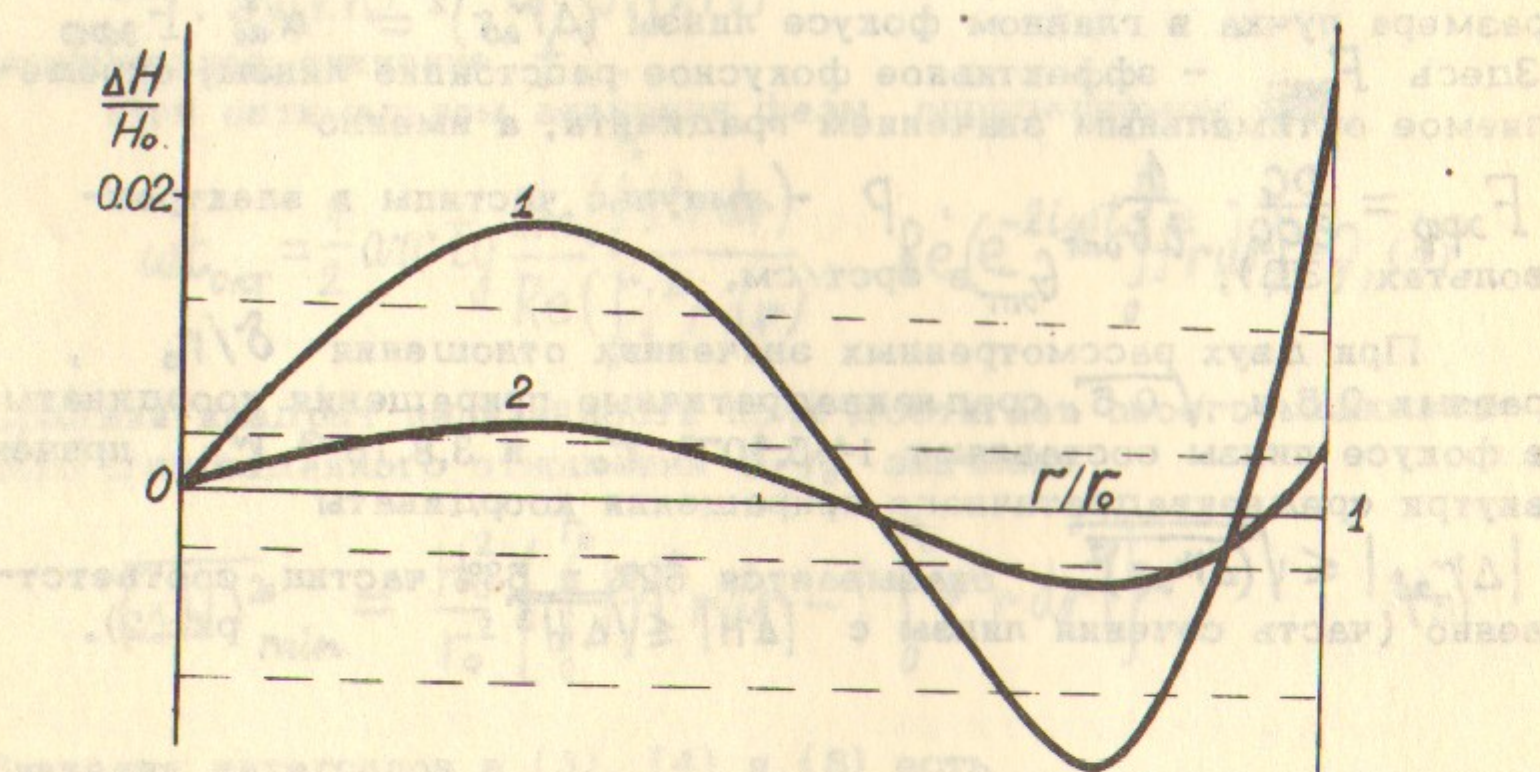


Рис.2. Отклонение  $H$ -зависимости поля от линейной в оптимальной фазе.

Кривая 1 соответствует  $\delta/r_0 = 0.5$ , кривая 2 —  $\delta/r_0 = \sqrt{0.5}$ . Пунктирными линиями показаны среднеквадратичные значения отклонений  $\pm \sqrt{DH}$ .

Если распределение частиц по сечению линзы существенно отличается от однородного, средний квадрат угла аберрации должен быть вычислен с учетом функции распределения частиц  $\psi(r)$ , а именно

$$\overline{\alpha_{ab}^2} = \left(\frac{300e}{pc}\right)^2 \frac{\int \psi(r) [H(r,t) - r G_{opt}(t)]^2 r dr}{\int \psi(r) r dr} \quad (8)$$

Сравнение значений  $(\Delta \Gamma_{ab})^2$  в оптимальных фазах и в фазе  $\pi/2$  (рис.3) показывает, что оптимальный выбор фазы пролета частиц существенно уменьшает аберрацию и делает допустимыми достаточно малые значения отношения  $\delta/r_0$  вплоть до  $\sim 0.5$ .

Однако с уменьшением длительности импульса оптимальная фаза пролета частиц существенно сдвигается за максимум тока (при  $\delta/r_0 = 0.5$ ,  $\omega t_{opt} = 120^\circ$ ), что при заданном фокусном расстоянии требует увеличения амплитуды поля как  $H_0 \sim \frac{1}{\cos \omega \Delta t}$ , где  $\Delta t$  — независящее от частоты время от максимума поля до момента установления его оптимального распределения. Нагрев же за импульс, пропорциональный  $H_0^2/\omega$ , меняется как

$W \sim \frac{1}{\omega \cos^2 \omega \Delta t}$  и достигает минимального значения при  $\omega$ , приближенно определяемом из условия  $\frac{d}{d\omega} \left( \frac{1}{\omega \cos^2 \omega \Delta t} \right) = 0$ , т.е.  $2\omega \Delta t \cdot t_q \omega \Delta t = 1$ , что соответствует  $\delta/r_0 \approx 0.5$ .

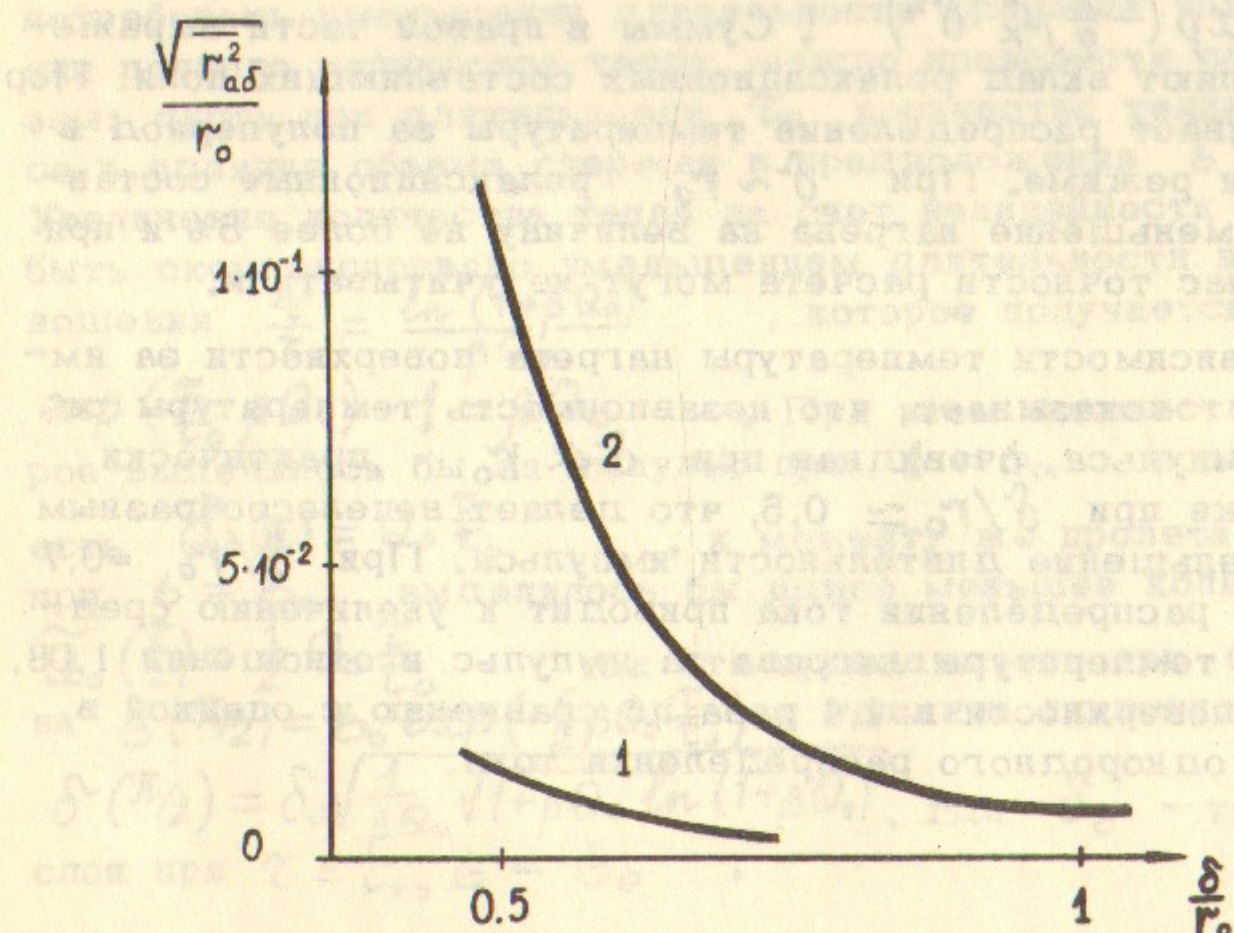


Рис.3. Среднеквадратичное аберрационное приращение размера пучка в главном фокусе линзы в зависимости от  $\delta/r_0$  в оптимальной фазе (1) и в фазе  $\pi/2$  (2).

## П. Нагрев

Оценка нагрева линзы за импульс в предположении однородной плотности тока и малой зависимости проводимости и теплоемкости от температуры для литиевой линзы при поле на поверхности  $H_0 = 100$  кэрст и  $\delta/r_0 = 0.7$  дает величину  $\Delta T \approx 70^\circ$  независимо от ее радиуса, поскольку температура нагрева квадратично зависит и от градиента и от радиуса (из-за квадратичной зависимости от радиуса при заданном  $\delta/r_0$ ).

Учет неоднородности плотности тока при  $\delta = \delta_0$  приводит в пренебрежении теплопроводностью к следующему выражению для распределения температуры нагрева за импульс при токе  $I = I_0 \sin \omega t$ ,  $t \leq \pi/\omega$

$$T(r) = \frac{H_0^2}{8\pi\rho C} \left\{ \pi \left| \frac{J_0(x\sqrt{i})}{J_1(x_0\sqrt{i})} \right|^2 + 4 \sum_{j=1}^{\infty} \sum_{k=1}^{\infty} \frac{a_j b_k \mu_j \mu_k}{\mu_j^2 + \mu_k^2} J_0(\mu_j r) J_0(\mu_k r) - 2 \sum_{j=1}^{\infty} a_j b_j J_0(\mu_j r) J_0(\mu_j r) \operatorname{Re} \left[ \left( 1 + i \frac{\mu_j^2 \delta^2}{2} \right) \frac{x_0 \sqrt{i}}{J_1(x_0 \sqrt{i})} J_0(x\sqrt{i}) \right] \right\}, \quad (9)$$

где  $C$  — теплоемкость,  $\rho$  — плотность,  $a_j$  определены в (1),  $b_k = a_k [1 + \exp(-\frac{\pi}{2} \mu_k^2 \delta^2)]$ . Суммы в правой части выражения (9) определяют вклад релаксационных составляющих поля. Первый член описывает распределение температуры за полупериод в установившемся режиме. При  $\delta \sim r_0$  релаксационные составляющие дают уменьшение нагрева на величину не более 5% и при интересующей нас точности расчета могут не учитываться.

Анализ зависимости температуры нагрева поверхности за импульс от  $\delta/r_0$  показывает, что независимость температуры от длительности импульса, очевидная при  $\delta \ll r_0$ , практически имеет место уже при  $\delta/r_0 \approx 0.5$ , что делает неподесообразным дальнейшее уменьшение длительности импульса. При  $\delta/r_0 = 0.7$  неоднородность распределения тока приводит к увеличению средней по сечению температуры нагрева за импульс в отношении 1.08, а температуры поверхности в 1.4 раза по сравнению с оценкой в предположении однородного распределения тока.

Для напряженных линз с полями  $H_0 \geq 100$  кэрст оценка нагрева должна производиться с учетом изменения проводимости, которое может быть описано, как  $\delta = \frac{\delta_0}{1 + \beta Q}$  /4/. Здесь  $\delta_0$  — проводимость при начальной температуре,  $Q$  — прирост количества тепла в единице объема по сравнению с начальным состоянием,  $\beta$  — тепловой коэффициент проводимости, равный для Li  $0.946 \cdot 10^{-2}$  кал. с точностью  $\sim 5\%$  в диапазоне температур  $0-180^\circ$ .

Количество тепла, выделившееся за импульс в единице объема, равно  $Q = \frac{\exp(\beta Q_0) - 1}{\beta}$ , где  $Q_0$  — количество тепла, которое выделилось бы за импульс при постоянной проводимости  $\delta = \delta_0$ . Конечные значения проводимости и прироста температуры есть:

$$\delta = \delta_0 e^{-\beta Q_0}, \quad \Delta T = \frac{e^{\beta Q_0} - 1}{\alpha},$$

где  $\alpha$  — температурный коэффициент проводимости, равный для Li  $4.4 \cdot 10^{-3}$  град $^{-1}$ .

При нагреве до температуры плавления  $T = 180^\circ\text{C}$  поправка за счет температурной зависимости физических характеристик лития составляет  $42^\circ$ .

Оценку изменения толщины скин-слоя к фазе пролета частиц  $\omega t \approx \frac{\pi}{2}$  с учетом того, что нелинейный рост температуры может потребовать уменьшения длительности импульса тока для уменьшения количества тепла, можно произвести следующим образом: пусть при длительности  $\tau_0$  количество тепла, выделившееся в единице объема стержня в предположении  $\delta = \delta_0$ , есть  $Q_0$ . Увеличение количества тепла за счет нелинейности нагрева может быть скомпенсировано уменьшением длительности импульса в отношении  $\frac{\tau}{\tau_0} = \frac{\ln(1 + \beta Q_0)}{\beta Q_0}$ , которое получается из условия

$\exp\left(\frac{\tau}{\tau_0} \beta Q_0\right) - 1 = \beta Q_0$ . При этом количество тепла, которое выделилось бы за импульс при  $\delta = \delta_0$  и длительности  $\tau$  есть  $\tilde{Q}_0(\tau) = Q_0 \frac{\tau}{\tau_0}$ , к моменту же пролета частиц ( $\omega t = \frac{\pi}{2}$ ) при  $\delta = \delta_0$  выделилось бы вдвое меньшее количество тепла  $\tilde{Q}_0\left(\frac{\pi}{2}\right) = \frac{1}{2} Q_0 \frac{\pi}{\tau_0}$ , так что проводимость при  $\omega t = \frac{\pi}{2}$  равна  $\delta\left(\frac{\pi}{2}\right) = \delta_0 \exp\left(-\frac{1}{2} \beta Q_0 \frac{\pi}{\tau_0}\right)$  и толщина скин-слоя —  $\delta\left(\frac{\pi}{2}\right) = \delta_0 \sqrt{\frac{1}{\beta Q_0} \sqrt{1 + \beta Q_0} \ln(1 + \beta Q_0)}$ , где  $\delta_0$  — толщина скин-слоя при  $\tau = \tau_0$ ,  $\delta = \delta_0$ .

Отличие  $\delta(\frac{\pi}{2})$  от  $\delta_0$  не превышает нескольких процентов в широком диапазоне температур. Так при нагреве за импульс до температуры плавления, когда  $\beta \tilde{Q}_0 = \ln(1+\alpha T) = 0.57$  и  $\tau/\tau_0 = 0.73$  толщина скин-слоя в момент пролета частиц  $\delta(\frac{\pi}{2}) = 0.98 \delta_0$ .

Таким образом, существенное уменьшение длительности импульса для компенсации квадратного роста нагрева практически не приводит к изменению заданного распределения поля в момент пролета частиц. Последнее заключение сделано с учетом того, что поле в процессе нагрева практически близиерционно следует за изменением проводимости, поскольку, как показано выше, время реализации при  $\delta \sim r_0$  мало по сравнению с длительностью импульса.

Проведенное рассмотрение нагрева с учетом его нелинейности и неоднородности плотности тока позволяет сделать оценку максимального поля на поверхности стержня  $H_{max}$ , при котором средняя по сечению температура не превышает температуру плавления при условии оптимального выбора длительности импульса. Для лития эта величина составляет  $H_{max} = 170$  кэрст.

### Ш. Краевые эффекты

Краевые эффекты, то есть зависимость поля  $H(r, z)$  вблизи торцов линзы и, связанная с ней дополнительная нелинейность радиального распределения интегралов поля  $\int H(r, z) dz$ , имеют для цилиндрических линз тем большее значение, что в целях уменьшения ядерного поглощения и рассеяния частиц длина линзы должна быть сделана минимальной.

Для определения краевой aberrации вне зависимости от геометрии токоподвода (при условии его аксиальной симметрии и проводимости, одинаковой с проводимостью линзы) удобно вести граничную функцию  $f(z) = \frac{1}{H_0} \cdot H(r_0, z)$ , которая полностью определяет поле в рабочей области линзы при краевых условиях:  $H=0$  при  $z=0$  и  $H \rightarrow H_0 \frac{J_1(Kr)}{J_1(Kr_0)}$  при  $z \rightarrow \infty$ , а именно:

$$H(r, z) = \frac{2H_0}{\pi} \int_0^\infty \frac{J_1(\lambda r)}{J_1(\lambda r_0)} \sin qz \int_0^\infty f(z') \sin qz' dz' dq \quad (10)$$

где  $\lambda^2 = \sqrt{k^2 - q^2}$ . Вне токоподвода, при  $z \geq z_0$ , (рис.4),  $f(z) = 1$ , внутри же определяется его геометрией и толщиной скин-слоя. Поскольку средний квадрат угла краевой aberrации пропорционален среднему квадрату отклонения  $r$  — зависимости интегралов поля от асимптотической  $J_1(Kr)/J_1(Kr_0)$ , представим интегралы поля в виде

$$\int_0^\infty H(r, z) dz = H_0 \frac{J_1(Kr)}{J_1(Kr_0)} (z - z_{\text{эфф}}) + \sum_{e=1}^{\infty} B_e J_1(\mu_e r), \quad (11)$$

где  $z_{\text{эфф}}$  — смещение эффективного края линзы относительно физического края  $z=0$ . Используя для  $H(r, z)$  выражение (10), получаем коэффициенты  $B_e$  равными

$$B_e = \frac{2H_0 \mu_e}{\chi_e^2 r_0 J_0(\mu_e r_0)} \left[ \int_0^{z_0} f(z) e^{-\chi_e z} dz + z_0 - z_{\text{эфф}} - \int_0^{\infty} f(z) dz \right], \quad (12)$$

где  $\chi_e = \sqrt{\mu_e^2 - k^2}$ ,  $z_0$  — граница токоподвода, отвечающая условию  $f(z)=1$ . Стремление к бесконечности верхнего предела интегрирования в (12) и (11) в реальном случае конечной длины линзы  $Z$  следует понимать как  $Z \gg \frac{1}{|\chi_e|}$ , что позволяет рассматривать эффект каждого края независимо от другого.

Средний квадрат угла aberrации за счет одного края есть

$$\overline{\alpha_{ab}^2} = \frac{\alpha_0^2}{H_0^2 Z^2} \sum_{e=1}^{\infty} B_e^2 J_0^2(\mu_e r_0), \quad (13)$$

где  $\alpha_0$  — угол поворота частицы в поле  $H_0$  на длине  $Z$ . Значение  $z_{\text{эфф}}$  находим из условия минимальности  $\overline{\alpha_{ab}^2}$ , т.е.

$$\frac{\partial \overline{\alpha_{ab}^2}}{\partial z_{\text{эфф}}} = 0, \quad \text{так что } z_0 - z_{\text{эфф}} = \int_0^{z_0} f(z) dz - \frac{1}{\sum_{e=1}^{\infty} \frac{\mu_e^2}{\chi_e^4 r_0^2} \int_0^{\infty} f(z) e^{-\chi_e z} dz}, \quad (14)$$

$$\overline{\alpha_{ab}^2} = \frac{4\alpha_0^2}{Z^2} \left\{ \sum_{e=1}^{\infty} \frac{\mu_e^2}{\chi_e^4 r_0^2} \left[ \int_0^{z_0} f(z) e^{-\chi_e z} dz \right]^2 - \frac{1}{\sum_{e=1}^{\infty} \frac{\mu_e^2}{\chi_e^4 r_0^2}} \cdot \left[ \sum_{e=1}^{\infty} \frac{\mu_e^2}{\chi_e^4 r_0^2} \int_0^{\infty} f(z) e^{-\chi_e z} dz \right]^2 \right\}$$

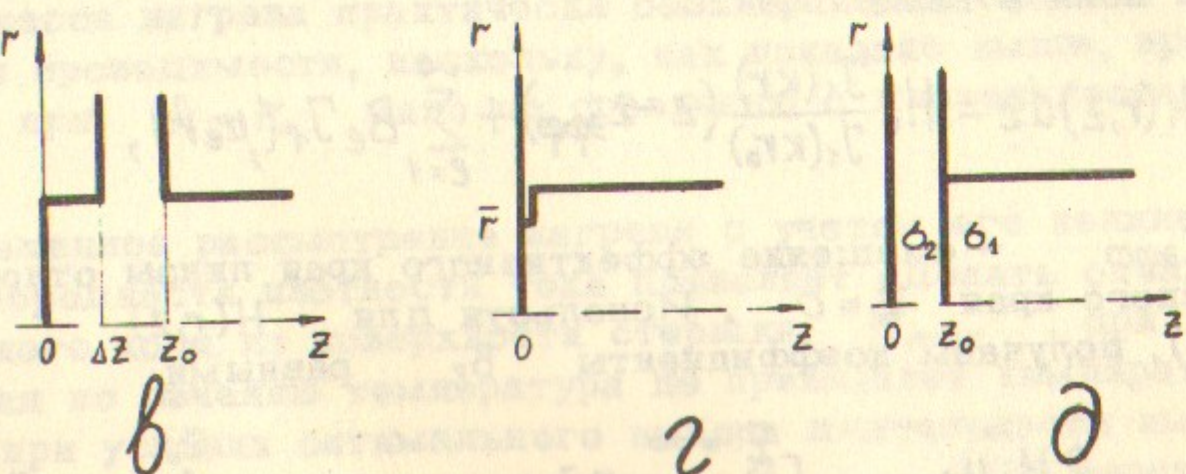
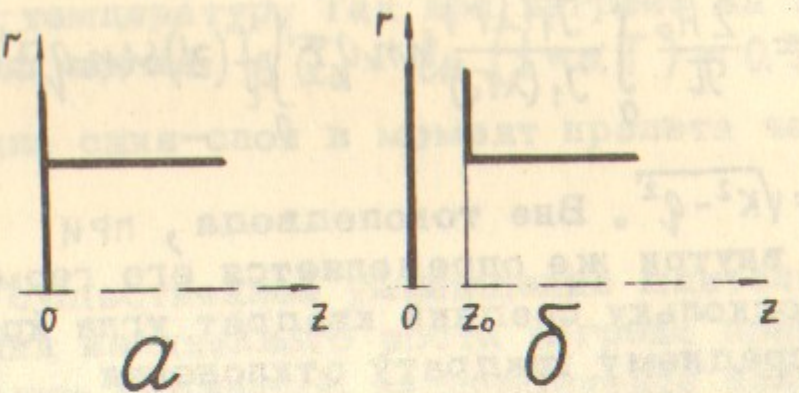


Рис.4. К расчету краевой aberrации.

При бесконечно тонком токоподводе (рис.4а) функция  $f(z) = 1$  при всех  $z > 0$  и  $\int_0^\infty f(z) e^{-\chi_e z} dz = \frac{1}{\chi_e}$ . Если при этом  $\mu_e^2 \gg |K|^2$ , что имеет место при

$$\overline{\alpha_{ab}^2} = 4\alpha_o^2 \frac{r_o^2}{Z^2} \left[ \sum_{m=1}^{\infty} \frac{1}{\mu_m^4 r_o^4} - \frac{\left( \sum_{m=1}^{\infty} \frac{1}{\mu_m^3 r_o^3} \right)^2}{\sum_{m=1}^{\infty} \frac{1}{\mu_m^2 r_o^2}} \right], \quad (15)$$

что составляет  $\overline{\alpha_{ab}^2} = 4\alpha_o^2 r_o^2 \frac{1}{Z^2} \cdot 1.066 \cdot 10^{-3}$ . Смещение эффективного края линзы при этом равно  $Z_{eff} = 0.182 r_o$ .

В реальном случае конечной, но достаточно малой толщины токоподвода (рис.4б),  $Z_0 \leq \delta$ , распределение тока в нем можно считать однородным, так что

$$f(z) = \begin{cases} z/z_0 & \text{при } 0 \leq z \leq z_0 \\ 1 & \text{при } z \geq z_0 \end{cases}$$

$$\int_0^\infty f(z) e^{-\chi_e z} dz = \frac{1}{\chi_e} \frac{1 - e^{-\chi_e z_0}}{\chi_e z_0}$$

$\chi_e \approx \mu_e$ , получаем  $\overline{\alpha_{ab}^2} = 4\alpha_o^2 r_o^2 Z^{-2} \cdot 3.05 \cdot 10^{-4}$ , что существенно меньше, чем в случае бесконечно тонкого токоподвода. Смещение края в этом случае есть  $Z_{eff} = 0.382 r_o$ . Если условие "бесконечности" длины линзы не выполняется, т.е.

$Z \leq \frac{2}{\mu_1}$ , смещение эффективного края линзы и средний квадрат угла aberrации за счет одного края находится как

$$\frac{1}{2} Z - Z_{eff} = \int_0^{\frac{1}{2}Z} f(z) dz \cdot \left( \sum_{m=1}^{\infty} \frac{1}{\mu_m^2 r_o^2} \right)^{-1} \sum_{m=1}^{\infty} \frac{\operatorname{ch} \frac{\chi_m}{2} Z - \operatorname{ch} \frac{\chi_m}{2} \frac{1}{2} Z}{\chi_m^2 r_o^2 \operatorname{sh} \frac{\chi_m}{2} Z} \quad (16)$$

$$\overline{\alpha_{ab}^2} = 4H_o^2 \left[ \int_0^{\frac{1}{2}Z} f(z) dz \right]^2 \cdot \left\{ \sum_{m=1}^{\infty} \mu_m^2 r_o^2 \left[ \frac{\operatorname{ch} \frac{\chi_m}{2} Z - \operatorname{ch} \frac{\chi_m}{2} \frac{1}{2} Z}{\chi_m^2 r_o^2 \operatorname{sh} \frac{\chi_m}{2} Z} \right] \right\}^2 - \frac{\left[ \sum_{m=1}^{\infty} \frac{\operatorname{ch} \frac{\chi_m}{2} Z - \operatorname{ch} \frac{\chi_m}{2} \frac{1}{2} Z}{\chi_m^2 r_o^2 \operatorname{sh} \frac{\chi_m}{2} Z} \right]^2}{\sum_{m=1}^{\infty} \frac{1}{\mu_m^2 r_o^2}}$$

где  $\operatorname{ch} \frac{\chi_m}{2} Z = \frac{\int_0^{\frac{1}{2}Z} f(z) \operatorname{ch} \chi_m (\frac{1}{2}Z - z) dz}{\int_0^{\frac{1}{2}Z} f(z) dz}$

Аберрация за счет обоих краев линзы  $\alpha_{ab,1,2}$  находится сложением aberrационных углов каждого края  $\alpha_{ab}$  квадратич-

ным -  $\overline{\alpha_{ab,1,2}^2} = 2\overline{\alpha_{ab}^2}$  - при длине линзы, сравнимой с фокусным расстоянием  $F$ , и линейным -  $\sqrt{\overline{\alpha_{ab,1,2}^2}} = 2\sqrt{\overline{\alpha_{ab}^2}}$  - в случае тонкой линзы  $Z \ll F$ . Увеличение поперечного фазового объема (эмитанса) пучка описывается соотношением

$$\Phi = \sqrt{\Phi_0^2 + r_o^2 \overline{\alpha_{ab,1,2}^2}}, \text{ где } \Phi_0 \text{ - исходное значение эмитанса.}$$

В качестве возможных путей уменьшения краевой aberrации рассмотрим два примера специальной геометрии края линзы (рис.4 в, г) и различие проводимостей материала самой линзы  $b_1$  и токоподвода  $b_2$ , такое что  $b_1 < b_2$ .

Если ток подводится на некотором расстоянии  $\Delta Z$  от края стержня (рис.4 в), значения интегралов  $\int_0^\infty f(z) e^{-\chi_e z} dz$ , входящих в определение  $\overline{\alpha_{ab}^2}$ , уменьшаются пропорционально  $e^{-\chi_e \Delta Z}$  в обоих рассмотренных выше случаях ( $Z_0 = 0$  и  $Z_0 \leq \delta$ ), и при  $\Delta Z \gg \frac{1}{|\chi_e|}$  aberrация может быть сделана как угодно малой. При  $\Delta Z = \frac{1}{2} r_o$  в случае бесконечно-тонкого токоподвода

$\alpha_{ad}^2 = 4\alpha_0^2 r_0^2 Z^{-2} \cdot 4.3 \cdot 10^{-5}$ , что в 25 раз меньше, чем при  $\Delta Z = 0$ .

При тонкой кольцевой щели глубиной  $r_0 - \bar{r}$  (рис. 4 г) и бесконечно-тонком токоподводе граничное условие на поле в линзе

$$H(r) = \begin{cases} 0, & r < \bar{r} \\ H_0 \frac{r_0}{r}, & r \geq \bar{r} \end{cases} \quad \text{и поле в рабочей}$$

$$\text{области } H(r, z) = H_0 \frac{J_1(kr)}{J_1(kr_0)} + \sum_{e=1}^{\infty} A_e J_1(\mu_e r) e^{-\mu_e z}, \text{ где}$$

$$A_e = 2H_0 \frac{k^2 J_0(\mu_e r_0) + \chi_e^2 J_0(\mu_e \bar{r})}{\chi_e^2 \mu_e r_0 J_0^2(\mu_e r_0)} \quad (17)$$

Глубина щели выбирается такой, чтобы средний квадрат краевой аберрации  $\alpha_{ad}^2 = \frac{\alpha_0^2}{H_0^2 Z^2} \sum_{e=1}^{\infty} \frac{1}{\chi_e^2} A_e^2 J_0^2(\mu_e r_0)$  был минимальен. В частности, условие  $J_0(\mu_e r_0) = 0$ , что при  $|k|^2 \ll \mu_e^2$  означает  $A_1 \approx 0$ , уменьшает  $\alpha_{ad}^2$  примерно в 4 раза.

При этом  $\bar{r} = 0,68 r_0$ .

В случае различных проводимостей материала линзы  $\delta_1$  и токоподвода  $\delta_2$  (рис. 4 д) поле в линзе

$$H_1(r, z) = H_0 \frac{J_1(kr)}{J_1(kr_0)} + \sum_{e=1}^{\infty} A_e J_1(\mu_e r) e^{-\mu_e(z-z_0)}$$

связано с полем в токоподводящем диске,

$$H_2(r, z) = \int_0^{\infty} F_v J_1(vr) \sinh \chi z dv$$

где  $\chi^2 = v^2 - K_1^2$ , соотношениями

$$H_1 \Big|_{z=z_0} = H_2 \Big|_{\substack{z=z_0 \\ r \leq r_0}}, \frac{1}{\delta_1} \frac{\partial H_1}{\partial z} \Big|_{z=z_0} = \frac{1}{\delta_2} \frac{\partial H_2}{\partial z} \Big|_{\substack{z=z_0 \\ r \leq r_0}}$$

Вне проводника при  $z \geq z_0$  поле равно  $H_0 \frac{r_0}{r}$ , и граничное условие на поле  $H_2$  при  $r \geq r_0$  есть  $H_2 \Big|_{\substack{z=z_0 \\ r \geq r_0}} = H_0 \frac{r_0}{r}$ .

Таким образом, для нахождения неизвестных коэффициентов  $A_e$  и функции  $F_v$  получаем два уравнения

$$\int_0^{\infty} F_v J_1(vr) \sinh \chi z_0 dv = \begin{cases} H_0 \frac{J_1(kr_0)}{J_1(kr)} + \sum_{e=1}^{\infty} A_e J_1(\mu_e r), & r \leq r_0 \\ H_0 \frac{r_0}{r}, & r \geq r_0 \end{cases} \quad (18)$$

$$\int_0^{\infty} \chi F_v J_1(vr) \cosh \chi z_0 dv = - \frac{\delta_2}{\delta_1} \sum_{e=1}^{\infty} \mu_e A_e J_1(\mu_e r), \quad r \leq r_0$$

Из первого уравнения, помножив его на  $r J_1(\mu r)$  и проинтегрировав по  $r$  от 0 до  $\infty$  с учетом того, что

$$\lim_{x \rightarrow \infty} \int_0^x r J_1(vr) J_1(\mu r) dr = \frac{1}{8\sqrt{\mu v}} \lim_{x \rightarrow \infty} \frac{\sin x(v-\mu)}{v-\mu} = \frac{\delta(v-\mu)}{\sqrt{\mu v}},$$

получаем

$$\frac{F_v \sinh \chi z_0}{v} = \frac{H_0 r_0}{v^2 - K_1^2} \left[ K_1 \frac{J_0(K_1 r_0)}{J_1(K_1 r_0)} J_1(vr_0) - \frac{K_1^2}{v} J_0(vr_0) \right] - \sum_{e=1}^{\infty} A_e \frac{\mu_e r_0 J_0(\mu_e r_0) J_1(vr_0)}{\mu_e^2 - v^2}, \quad (19)$$

из второго в результате умножения его на  $r J_1(\mu r)$  и интегрирования от 0 до  $r_0$  —

$$A_e \frac{r_0}{2} J_0(\mu_e r_0) = \frac{\delta_1}{\delta_2} \int_0^{\infty} \chi \cosh \chi z_0 F_v \frac{J_1(vr_0)}{\mu_e^2 - v^2} dv.$$

Подставив  $F_v$  из (19), получаем для определения коэффициентов  $A_e$  бесконечную систему уравнений

$$A_e \frac{r_0}{2} J_0(\mu_e r_0) = \frac{\delta_1}{\delta_2} H_0 r_0 \left\{ K_1 \frac{J_0(K_1 r_0)}{J_1(K_1 r_0)} \int_0^{\infty} \frac{v \chi \cosh \chi z_0 J_1^2(vr_0)}{(v^2 - K_1^2)(\mu_e^2 - v^2)} dv - K_1^2 \int_0^{\infty} \frac{\chi \cosh \chi z_0 J_1(vr_0) J_0(vr_0)}{(v^2 - K_1^2)(\mu_e^2 - v^2)} dv \right\} - \frac{\delta_1}{\delta_2} \sum_{m=1}^{\infty} A_m \mu_m r_0 J_0(\mu_m r_0) \int_0^{\infty} \frac{\chi \cosh \chi z_0 J_1^2(vr_0)}{(\mu_e^2 - v^2)(\mu_m^2 - v^2)} dv.$$

Нетрудно убедиться, что коэффициенты при  $A_{k \neq e}$  в правой части системы малы по сравнению с коэффициентом при  $A_e$ , так что с достаточной точностью можно принять

$$A_e \frac{r_0}{2} J_0(\mu_e r_0) \left[ 1 + 2\mu_e \frac{b_1}{b_2} \int_0^\infty \frac{yx \operatorname{cthx} z_0 J_1^2(vr_0)}{(\mu_e^2 - v^2)^2} dv \right] \approx$$

$$\approx \frac{b_1}{b_2} H_0 r_0 \left[ K_1 \frac{J_0(K_1 r_0)}{J_1(K_1 r_0)} \int_0^\infty \frac{yx \operatorname{cthx} z_0 J_1^2(vr_0) J_0(vr_0)}{(y^2 - K_1^2)(\mu_e^2 - v^2)} dv - K_1^2 \int_0^\infty \frac{yx \operatorname{cthx} z_0 J_1(vr_0) J_0(vr_0)}{(y^2 - K_1^2)(\mu_e^2 - v^2)} dv \right]$$

При  $|K_1|^2 \ll \mu_e^2$ , что имеет место при  $\delta_1 \geq r_0$ , выражение для  $A_e$  можно упростить к виду

$$A_e \frac{r_0}{2} J_0(\mu_e r_0) \left[ 1 + 2\mu_e \frac{b_1}{b_2} \int_0^\infty \frac{yx \operatorname{cthx} z_0 J_1^2(vr_0)}{(\mu_e^2 - v^2)^2} dv \right] \approx 2H_0 \frac{b_1}{b_2} \int_0^\infty \frac{yx \operatorname{cthx} z_0 J_1^2(vr_0)}{v(\mu_e^2 - v^2)} dv$$

Величину интегралов поля по длине линзы

$$\int_0^\infty H(r, z) dz = H_0 \frac{J_1(K_1 r)}{J_1(K_1 r_0)} (z - z_0) + \sum_{e=1}^\infty \frac{A_e J_1(\mu_e r)}{\mu_e} + \int_0^\infty \frac{ch x z - 1}{x} F_y J_1(yr) dv$$

с учетом выражения  $F_y$  через  $A_e$  получаем при  $|K_1|^2 \ll \mu_e^2$  в виде

$$\int_0^\infty H(r, z) dz \approx H_0 \frac{r}{r_0} (z - z_0) + 2H_0 \int_0^\infty \frac{1}{x} \operatorname{th} \frac{xz_0}{2} \cdot \frac{J_1(vr_0) J_1(vr)}{v} dv +$$

$$+ \sum_{e=1}^\infty A_e \frac{J_1(\mu_e r_0)}{\mu_e} \left[ 1 - \frac{\mu_e^2 r_0 J_0(\mu_e r_0)}{J_1(\mu_e r_0)} \int_0^\infty \frac{1}{x} \operatorname{th} \frac{xz_0}{2} \cdot \frac{v J_1(vr_0) J_1(vr)}{\mu_e^2 - v^2} dv \right].$$

Второе слагаемое в правой части при  $r < r_0$  и достаточно малых  $z_0$  ( $z_0 \ll r_0$ ) равно  $H_0 \frac{r}{r_0} \frac{1}{K_2} \operatorname{tg} \frac{K_2 z_0}{2}$ , т.е. линейно зависит от  $r$ , и нелинейность  $r$  – распределения интегралов поля полностью определяется значениями коэффициентов  $A_e$ .

Коэффициенты  $A_e$  существенно зависят от относения проводимостей  $b_1 : b_2$  при условии

$$2\mu_e \int_0^\infty \frac{yx \operatorname{cthx} z_0 J_1^2(vr_0) dv}{(\mu_e^2 - v^2)^2} \lesssim 1 \quad (18)$$

Это условие определяет минимальное значение толщины токоподвода  $z_0$ , поскольку величина входящего в него интеграла при малых  $z_0$

$$\int_0^\infty \frac{yx \operatorname{cthx} z_0 J_1^2(vr_0) dv}{(\mu_e^2 - v^2)^2} \underset{e=1, 2 \leq \delta_2}{\simeq} 0.032 K_2 r_0^2 \operatorname{tg} K_2 z_0 + 0.12 z_0$$

стремится к  $\infty$  пропорционально  $\frac{1}{z_0}$ .

Таким образом, если проводимость токоподводящего диска много больше проводимости линзы и толщина его достаточно для выполнения приведенного выше неравенства, краевой эффект устраняется практически полностью. Однако, в реальном случае не всегда удается найти материал, обладающий достаточно высокой проводимостью и достаточно малой плотностью, чтобы при толщине порядка скин-слоя не приводить к существенному рассеянию частиц.

В случае литиевой линзы наиболее подходящим материалом для токоподвода является бериллий. Отношение проводимостей  $\frac{b_1}{b_2} = \frac{b_{Be}}{b_{Be}}$  равно 0,67, что при  $z_0 = \frac{1}{2} r_0$  уменьшает коэффициенты, а значит и угол краевой aberrации, в  $\sim 1,4$  раза.

Приведенное решение задачи о распределении поля в рабочей области линзы в геометрии рис. 4д позволяет найти граничную функцию  $f(z)$  в этой геометрии при  $b_1 = b_2$ , а именно

$$f(z) \simeq 2 \int_{z \leq z_0}^\infty \frac{sh x z}{v sh x z_0} \left\{ 1 - \sum_{e=1}^\infty \frac{2\mu_e v^2}{(\mu_e^2 - v^2)[1 + 2\mu_e \int_0^\infty \frac{v' x' \operatorname{cthx}' z_0 J_1^2(v'r_0) dv'}{(\mu_e^2 - v'^2)^2}]} \right\} dv'$$

Для определения диапазона применимости результатов расчета в реальном случае, когда налицо целый ряд факторов, так или иначе влияющих на краевой эффект, учет которых в расчете неоправданно усложняет задачу, были произведены измерения топографии краевых полей на модели. Материалом цилиндрического проводника в модели служила ртуть, что позволяло перемещать датчик поля — индукционную катушку диаметром 3 мм, непосредственно в рабочей области линзы с минимальным искажением распределения поля. Модель представляла собой полый цилиндр из органического стекла с внутренним диаметром 6 см, наполненный ртутью, причем имелась возможность достаточно легко менять геометрию края линзы. Длительность импульса тока соответствовала заданному значению  $\delta/r_s = 1$ , амплитуда составляла 100 кА. Сигнал с датчика поля измерялся специальной схемой импульсных измерений с цифровой обработкой данных. Точность измерения поля составляла  $\sim 0,1\%$  от поля на поверхности. Точность отсчета координаты от магнитной оси линзы составляла  $\sim 0,3$  мм.

Результаты измерения топографии поля в рабочей области линзы для ряда геометрий представлены на рис.5, где радиальные распределения интегралов поля  $\int H(r,z)dz$  приведены в виде образующих входных (выходных) поверхностей линз

$$z(r) = - \frac{\int_0^\infty [H(r, z) - \lim_{z \rightarrow \infty} H(r, z)] dz}{\lim_{z \rightarrow \infty} H(r, z)}$$

Значения  $\Delta Z^2$  - средних квадратов отклонения эффективной входной поверхности от плоскости  $Z = Z_{\text{эфф}}$ , где значения  $Z_{\text{эфф}}$  отвечают минимуму  $\Delta Z^2$ , приведены в таблице II вместе со значениями  $Z_{\text{эфф}}$ . Ошибка в определении значений  $\Delta Z^2$  обусловлена неточностью в отсчете координаты  $Z$  (~0.3) при измерении топографии поля. На рис. 6 а и б представлена зависимость от геометрических параметров токоподвода среднеквадратичного угла aberrации  $\alpha_{ab}^2 = \alpha_0^2 \Delta Z^2 \frac{1}{4r_0^2}$ , где  $\alpha_0$  - угол поворота частицы на длине  $2r_0$  в поле, равном на поверхности линзы вне токоподвода, и смещения эффективного края линзы относительно ее физического края.

Значения среднеквадратичного угла aberrации, вычисленные по измеренной топографии поля, находятся в хорошем соответствии со значениями, полученными расчетным путем в предположении  $\delta \gg r_0$  (рис. 6а). Границная функция  $f(z)$  при  $0 \leq z \leq z_0$

для токоподводов толщиной  $Z_0 = \frac{1}{2} r_0$  и  $Z_0 = r_0$  приведена на рис. 7.

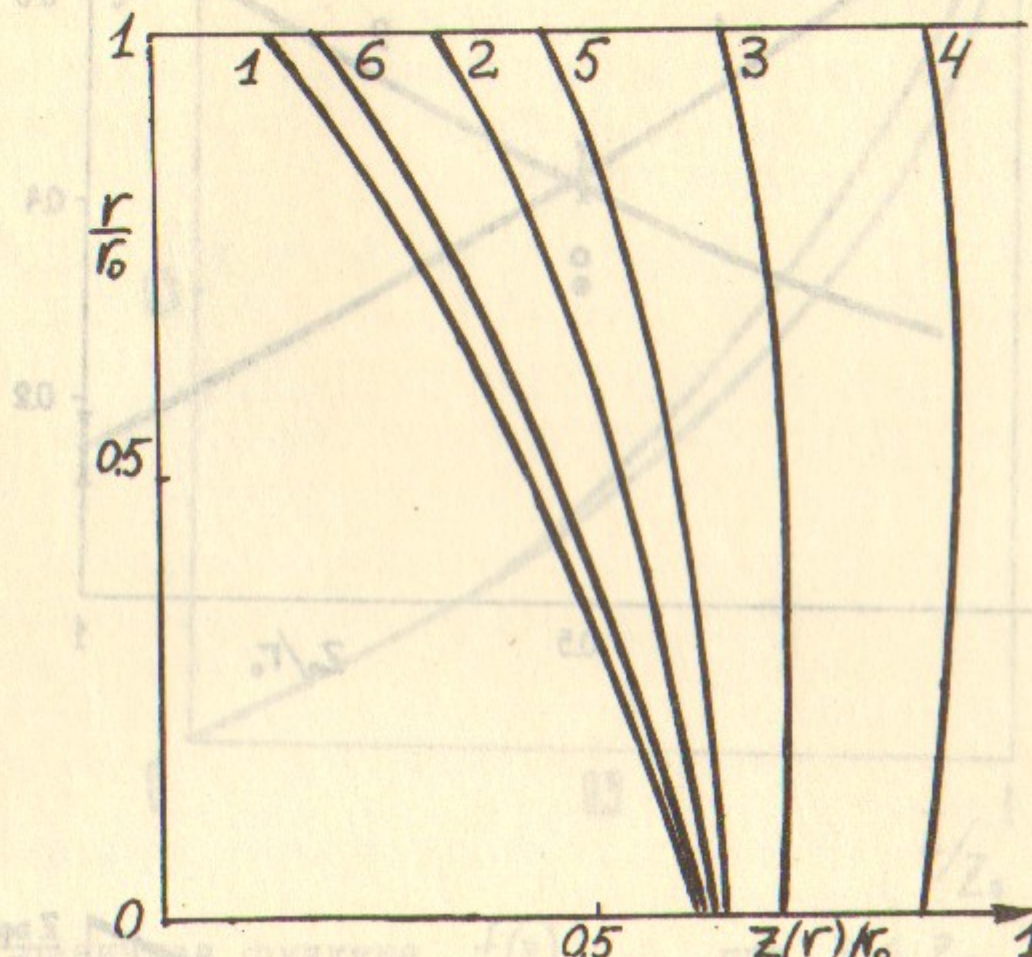
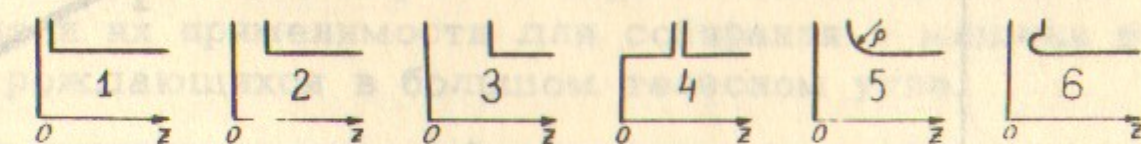


Рис.5. Входные поверхности линз, вычисленные по измеренной топографии краевых полей для токоподводов разной геометрии. Цифры на кривых соответствуют нумерации геометрий в таблице II.



$\frac{\Delta z^2}{r_0^2} \cdot 10^4$	$442^{+34}_{-38}$	$191^{+24}_{-28}$	$26^{+09}_{-13}$	$09^{+01}_{-05}$	$10.9^{+1.7}_{-2.1}$	$352^{+30}_{-34}$
$\frac{z_{\text{exp}}}{r_0}$	0.29	0.42	0.69	0.90	0.52	0.32

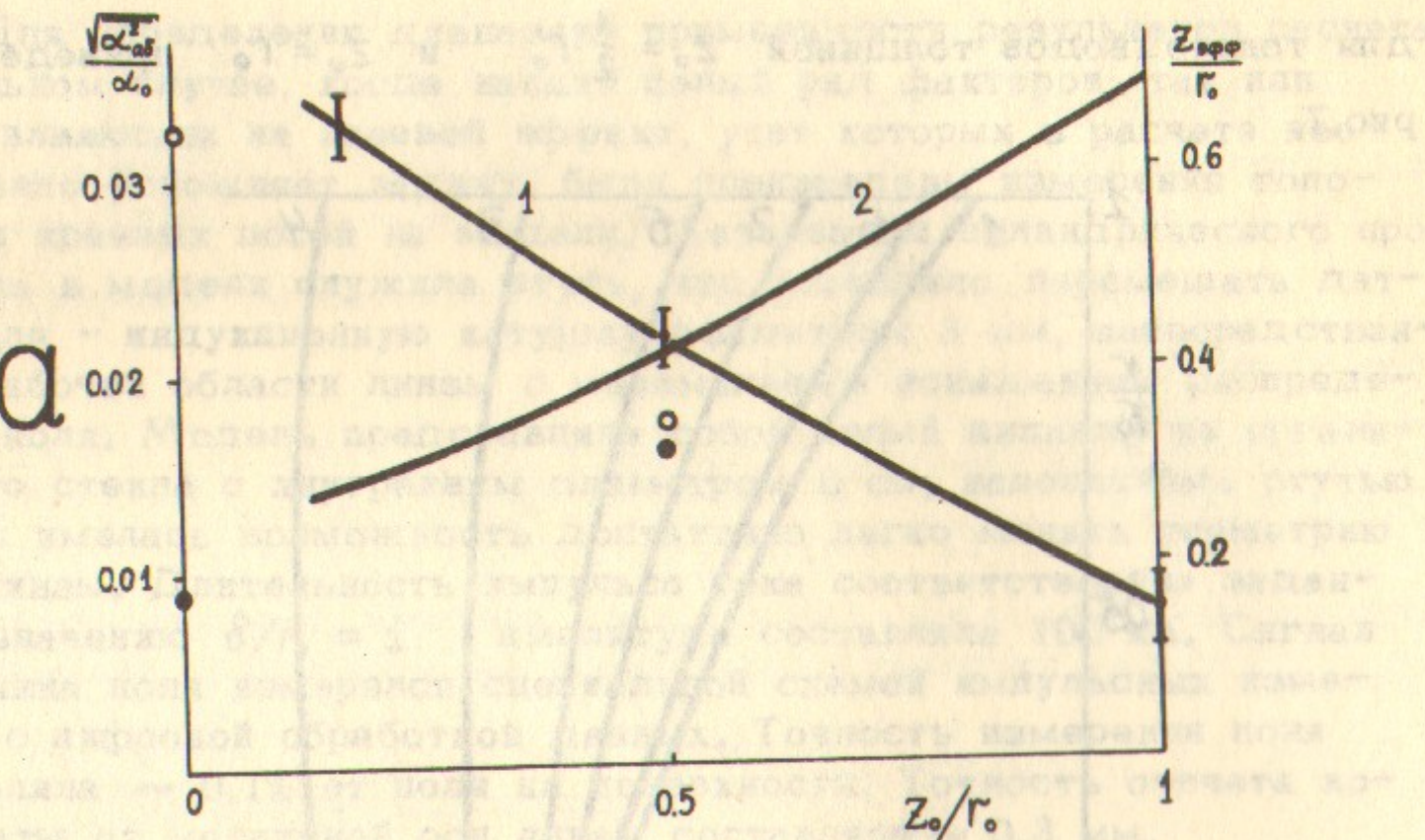


Рисунок 6. Зависимость среднеквадратичного угла краевой aberrации  $\sqrt{\alpha_{ab}^2}$  (кривая 1) и смещения эффективного края линзы  $Z_{\text{эфф}}$  (кривая 2) от толщины токоподвода  $Z_0$ . (а) и от радиуса скругления  $r$  при  $Z_0 = \frac{1}{2}r_0$ . (б).  $\alpha_0$  - угол поворота частицы на длине  $2r_0$  в поле, равном полю на поверхности линзы. Точками обозначены расчетные значения  $\sqrt{\alpha_{ab}^2}$  (○) и  $Z_{\text{эфф}}$  (●) при  $\delta \gg r_0$ .

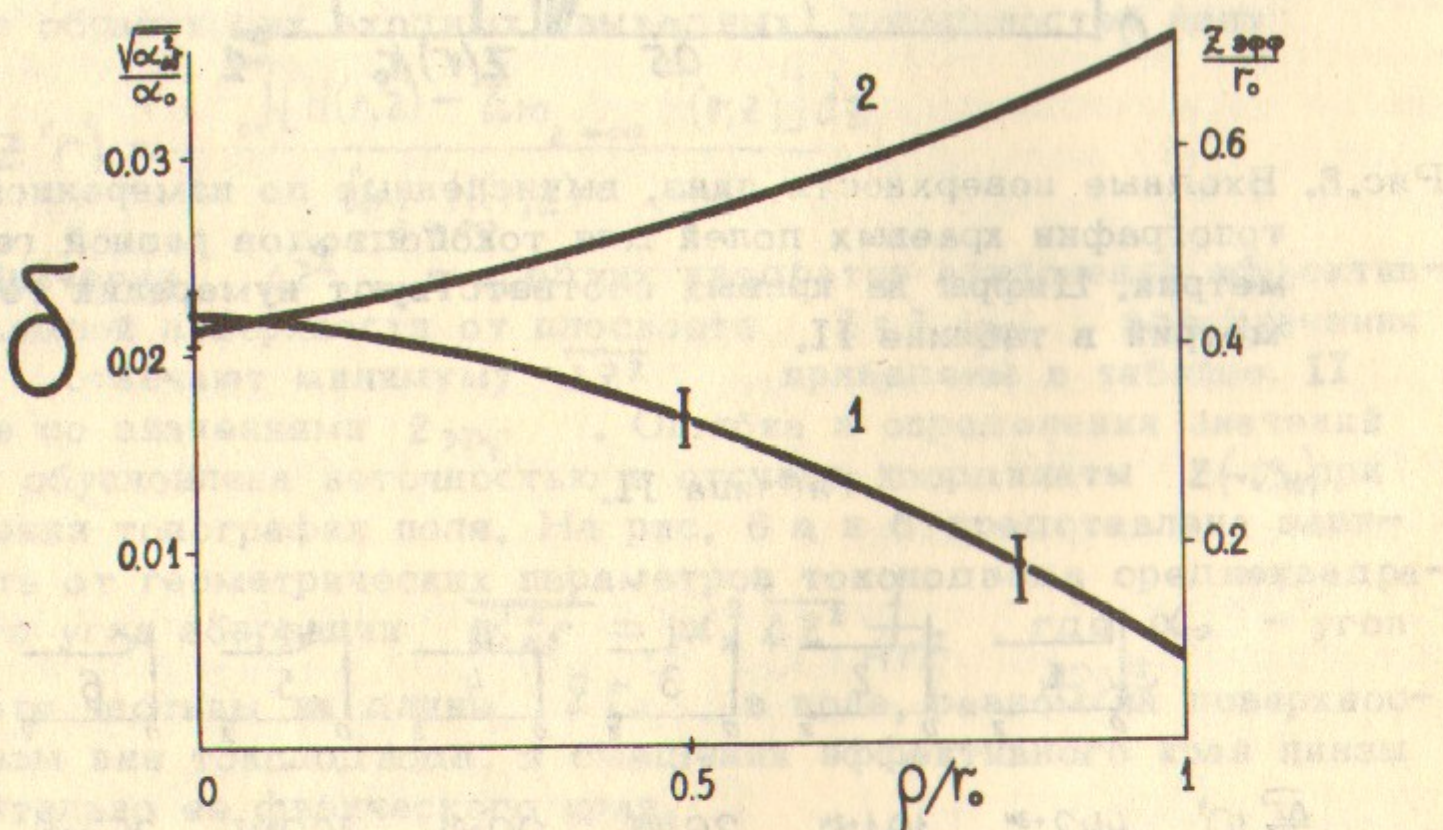


Рис.6. Зависимость среднеквадратичного угла краевой aberrации  $\sqrt{\alpha_{ab}^2}$  (кривая 1) и смещения эффективного края линзы  $Z_{\text{эфф}}$  (кривая 2) от толщины токоподвода  $Z_0$ . (а) и от радиуса скругления  $r$  при  $Z_0 = \frac{1}{2}r_0$ . (б).  $\alpha_0$  - угол поворота частицы на длине  $2r_0$  в поле, равном полю на поверхности линзы. Точками обозначены расчетные значения  $\sqrt{\alpha_{ab}^2}$  (○) и  $Z_{\text{эфф}}$  (●) при  $\delta \gg r_0$ .

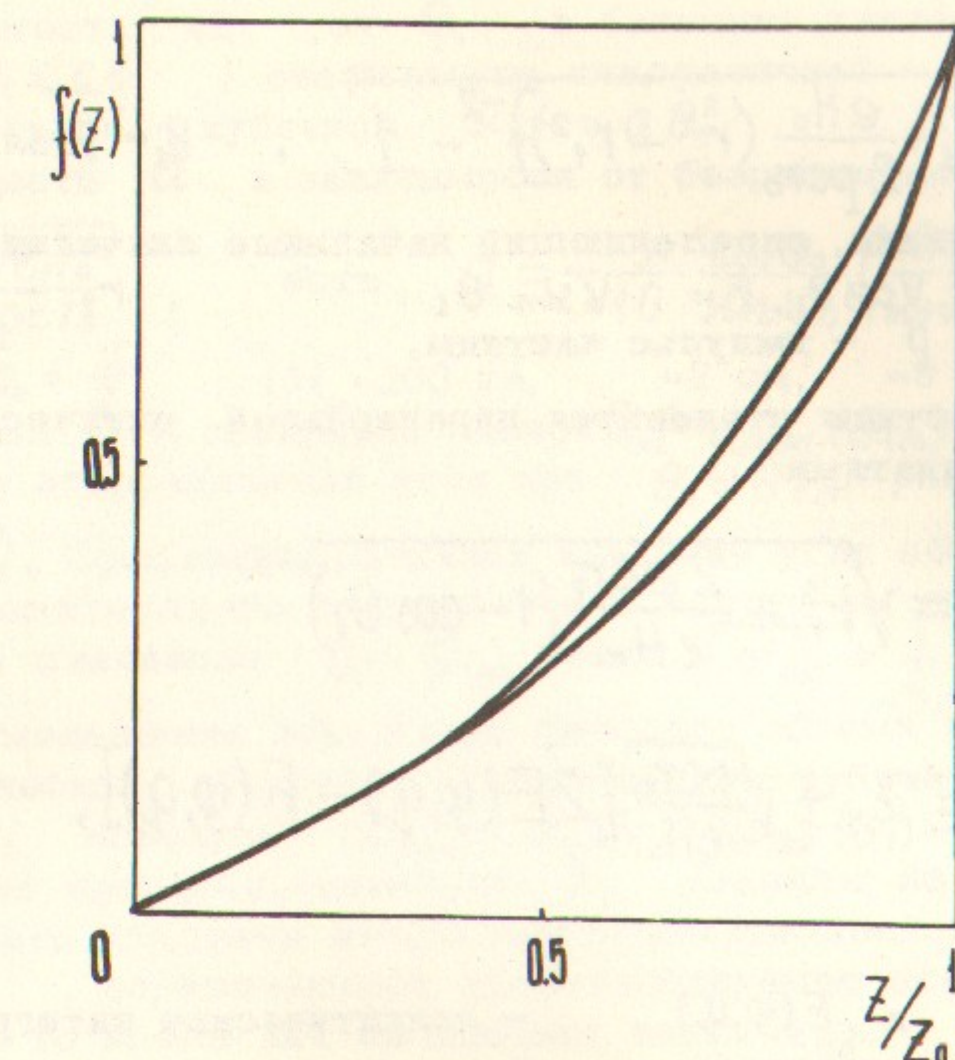


Рис.7. Границная функция  $f(z)$  при  $z \leq Z_0$  для токоподводов толщиной  $Z_0 = \frac{1}{2}r_0$  (1) и  $Z_0 = r_0$  (2)

#### IV. Сферическая aberrация

Сферическая aberrация, т.е. нелинейная зависимость выходного угла частиц от угла входа в линзу при фокусировке непараксиального пучка из точечного источника, расположенного в главном фокусе линзы, может служить ограничением светосилы цилиндрических линз и их применимости для сабирания с мишени вторичных частиц, рождающихся в большом телесном угле.

Траектория непараксиальной частицы определяется с помощью интегралов движения в поле  $H_\phi = H_0 \frac{r}{r_0}$ , а именно энергии частицы или ее скорости  $V = \sqrt{\dot{r}^2 + \dot{z}^2 + r^2 \dot{\phi}^2}$ ,  $z$  - проекции обобщенного импульса  $P_z = \frac{m\dot{z}}{\sqrt{1-\beta^2}} - eH_0 \frac{r^2}{2c r_0}$  и  $z$  - проекции момента количества движения  $M_z = \frac{mr^2 \dot{\phi}}{\sqrt{1-\beta^2}}$ , равной 0 в случае точечного источника частиц, откуда

$$\frac{dr}{dz} = \sqrt{\left[\cos \theta_1 + \frac{eH_0}{2pcr_0}(r^2 - r_1^2)\right]^{-2} - 1}, \quad \theta_1 - \text{угол вылета}$$

частицы из источника, определяющий начальные значения проекций скорости как  $\dot{z}_1 = V \cos \theta_1$ ,  $\dot{r} = V \sin \theta_1$ ,  $r_1$  - координата входа в поле,  $P$  - импульс частицы.

Скорость частицы становится параллельной оптической оси в точке с координатами

$$r = r_{\max}(\theta_1) = \sqrt{r_1^2 + \frac{2pcr_0}{eH_0}(1 - \cos \theta_1)}$$

$$z = z(r_{\max}) = z_1 + \sqrt{\frac{pcr_0}{eH_0}} [2E(\varphi, q) - F(\varphi, q)],$$

где  $F(\varphi, q)$  и  $E(\varphi, q)$  - эллиптические интегралы 1-го и 2-го рода, соответственно,

$$\varphi = \arcsin \left( 1 + \frac{eH_0 z_1^2}{pcr_0} \cdot \frac{\cos^2 \frac{\theta_1}{2}}{\cos^2 \theta_1} \right)^{-\frac{1}{2}}, \quad q = \sin \frac{\theta_1}{2} \sqrt{1 + \frac{eH_0 z_1^2}{pcr_0} \frac{\cos^2 \frac{\theta_1}{2}}{\cos^2 \theta_1}},$$

$z_1$  - расстояние от источника до входа в линзу.

Уравнения  $r = r_{\max}(\theta_1)$ ,  $z = z(r_{\max})$  описывают выходную поверхность линзы (рис.8), обеспечивающую отсутствие сферической aberrации. При плоской выходной поверхности угол сферической aberrации пропорционален расстоянию  $\Delta z(\theta_1)$  между идеальной и реальной выходными верхностями

$$\Delta z(\theta_1) = l_0 - [z(r_{\max}) - z_1], \quad \text{а именно } \alpha_{ab} = -\frac{eH_0}{pcr_0} \Delta z(\theta_1) r_{\max}(\theta_1).$$

Длина линзы в параксиальном приближении находится как

$$l_0 = \lim_{\theta_1 \rightarrow 0} [z(r_{\max}) - z_1] = \sqrt{\frac{pcr_0}{eH_0}} \arcsin \left( 1 + \frac{eH_0 z_1^2}{pcr_0} \right)^{-\frac{1}{2}},$$

главное фокусное расстояние

$$F_0 = \lim_{\theta_1 \rightarrow 0} \frac{r_{\max}}{\tan \theta_1} = \left( \frac{eH_0}{pcr_0} \right)^{\frac{1}{2}} \frac{1}{\sin l_0 \sqrt{\frac{eH_0}{pcr_0}}}.$$

Зависимость  $\Delta z$  от  $\theta_1$  в большом диапазоне значений  $\theta_1$  ( $\theta_1 \lesssim 0.5$ ) оказывается квадратичной -  $\Delta z(\theta_1) \sim \theta_1^2$ , а угла aberrации - кубичной  $\alpha_{ab} = a \theta_1^3$ . Коэффициент пропорциональности  $a$  в зависимости от безразмерной длины линзы

$$\varphi_0 = l_0 \sqrt{\frac{eH_0}{pcr_0}} \quad \text{есть } a = -\frac{3}{16} \cdot \frac{\cos \varphi_0}{\sin \varphi_0} \left( \frac{2\varphi_0}{\sin 2\varphi_0} - \cos 2\varphi_0 \right)$$

При  $\varphi_0 = \frac{\pi}{2}$  ( $H_0 = 200$  кэ,  $p = 2$  см,  $r_0 = 8$  см,  $\omega = 1$  Гэв) максимальный угол сопряжения линзой  $\theta_{1m}$  ( $r_{\max}(\theta_{1m}) = r_0$ ) есть  $\theta_{1m} = 0.35$ , и aberrационный угол при  $\theta_1 = \theta_{1m}$  равен  $1.26 \cdot 10^{-2}$  ( $\alpha_{ab} = a \theta_{1m}^3$ ). Среднеквадратичное значение угла aberrации в предположении однородного распределения частиц по углу вылета из источника в диапазоне  $0 \div \theta_{1m}$  равно  $\sqrt{\alpha_{ab}^2} = \frac{1}{2} a \theta_{1m}^3$ .

Для уменьшения искажения фазового объема пучка частиц за счет сферической aberrации аппроксимируем кубичную зависимость  $\alpha_{ab}$  от  $\theta_1$  линейной  $\alpha_{lin} = a_1 \theta_1 = \alpha_{ab}(\theta_1) - \Delta \alpha_{ab}(\theta_1)$ . Коэффициент пропорциональности  $a_1$  находим из условия минимума среднего квадрата нелинейности aberrационного угла  $\Delta \alpha_{ab}(\theta_1)$ , определяющей некомпенсируемое искажение эмитанца пучка, в то время как нелинейная часть  $\alpha_{ab} - \alpha_{lin}$  может быть скомпенсирована соответствующим перемещением источника вдоль оптической оси. Значение  $a_1$  в зависимости от максимального угла сопряжения  $\theta_{1m}$  при однородном распределении частиц по  $\theta_1$  есть  $a_1 = -\frac{2}{3} a \theta_{1m}^2$ , среднеквадратичное же значение нелинейности сферической aberrации  $\sqrt{\Delta \alpha_{ab}^2} = \frac{1}{6} a \theta_{1m}^3$ .

Эффективное значение главного фокусного расстояния находится подстановкой в выражение для  $F_0$  эффективного значения длины линзы  $l_{eff} = l_0 \left( 1 + \frac{2}{3} a \theta_{1m}^2 \frac{\sin \varphi_0}{\varphi_0} \right)$  вместо ее физической длины  $l_0$ .

Приведенный анализ aberrационных свойств цилиндрических линз позволяет определить диапазон параметров, которые могут быть приняты при проектировании конкретных вариантов литиевых линз. Критерием при этом должно быть сравнение величины эмитанса фокусируемого пучка с его среднеквадратичным приращением за счет aberrаций и рассеяния.

Л и т е р а т у р а

1. W.K. Panofsky and W.R. Baker, Rev. Sci. Instr., 21, 445(1950)
2. E.B. Forsyth, L.M. Lederman and J. Sunderland, Nuclear Science 3, 872, 1965
3. Б.Ф.Баянов, Г.И.Сильвестров. "Возможность применения лития для создания цилиндрических линз с большими магнитными полями". Препринт ИЯФ. Готовится к печати.
4. Г.Кнопфель "Сверхсильные импульсные магнитные поля". Издательство "Мир", Москва, 1972 г.

5. Л.Л.Ландау, Е.М.Лифшиц. Механика. Издательство "Наука", Москва, 1965 г.

$$M_0 = \frac{1}{2} \cdot \frac{1}{2} (L_{\text{max}} - 2) \cdot \text{мощность}$$

Для этого необходимо определить максимальное значение, наименьшее значение и среднее значение магнитного поля вдоль оси линзы. Для этого необходимо определить максимальное значение магнитного поля вдоль оси линзы, а также минимальное значение магнитного поля вдоль оси линзы.

$$F_0 = \frac{1}{2} m \cdot \frac{1}{2} (L_{\text{max}} - 2) \cdot \text{мощность}$$

Ответственный за выпуск С.Н.РОДИОНОВ  
Подписано к печати 13.У-1974г. № 08299  
Усл. л. 5, печ.л., тираж 200 экз. Бесплатно  
Заказ № 27

Отпечатано на ротапринте в ИЯФ СО АН СССР, тв